

# Procjene maksimalnih godišnjih kratkotrajnih količina oborine na postaji Zadar

Geografska širina ( $\varphi$ ): 44.13000° (396436.81E)

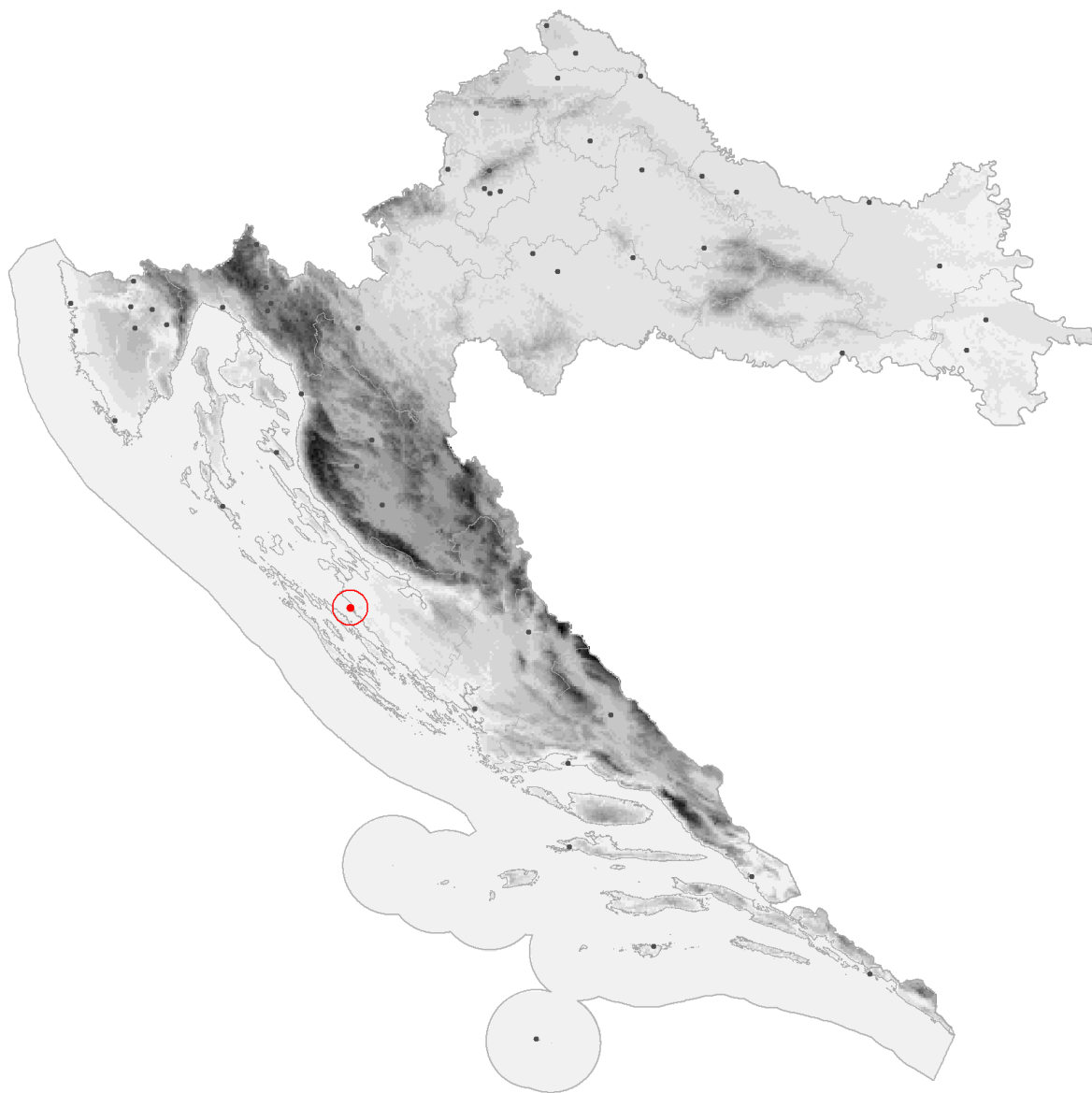
Geografska dužina ( $\lambda$ ): 15.20583° (4888592.76N)

Nadmorska visina (h): 2 m

Razdoblje: 1961. – 2020.

Analizirani broj godina: 59 (98.3 %)

Nedostajuće godine: 1 (1.7 %) 1991



Najbliži ombrograf: Gospić, 49 km

## Tablica 1.

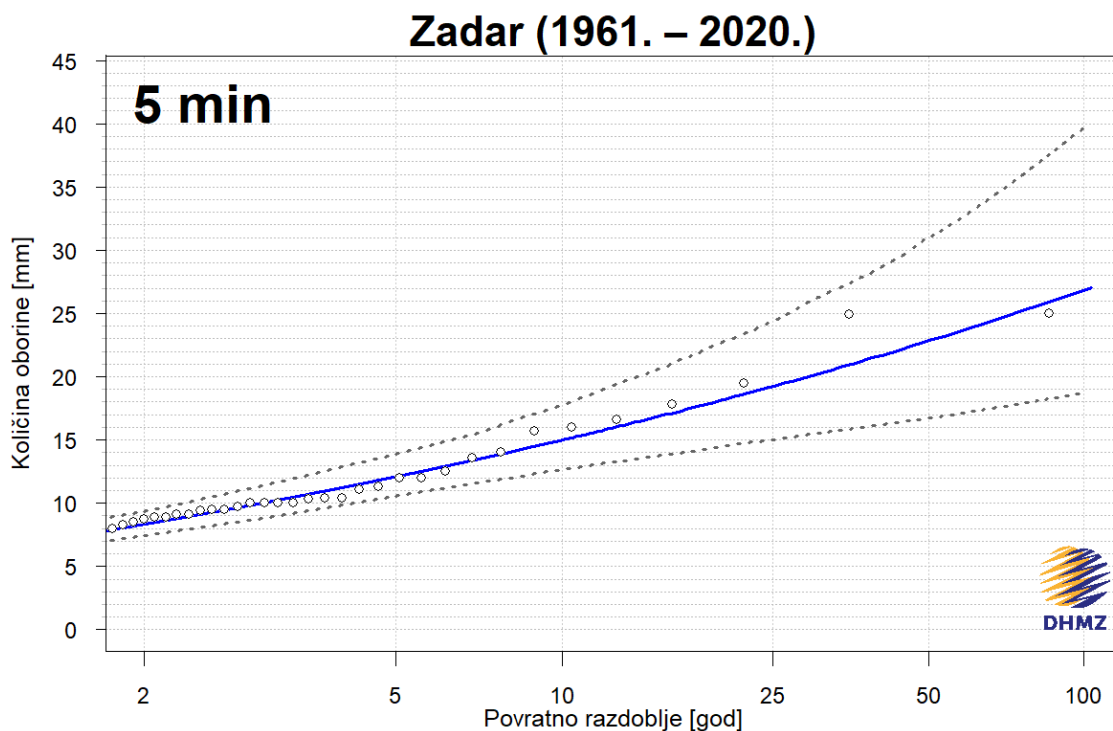
Osnovni statistički parametri oborine za različita trajanja: Rsred – srednjak [mm], StDev – standardna devijacija [mm], CV – koeficijent varijacije oborine, Rmaks – najveća registrirana količina oborine [mm] i pripadni datum i vrijeme, Tmaks – pripadno povratno razdoblje za Rmaks [god]. ZADAR, razdoblje 1961. – 2020.

Trajanje	Rsred	StDev	CV	Rmaks	Datum/Vrijeme	Tmaks
5 min	9.5	4.6	0.48	25.0	2011-12-12 07:25:00	73
10 min	15.2	6.1	0.40	33.2	1968-09-12 09:40:00	50
20 min	23.5	9.0	0.38	49.3	1967-09-14 21:20:00	54
30 min	29.4	11.7	0.40	61.8	1967-09-14 21:25:00	55
40 min	33.9	13.9	0.41	68.3	1967-09-14 21:30:00	41
50 min	37.5	15.8	0.42	73.3	* 1967-09-14 21:30:00	32
60 min	40.3	17.5	0.43	88.3	1986-09-10 09:30:00	61
2 h	49.2	25.4	0.52	147.3	1986-09-10 10:10:00	154
3 h	54.4	33.1	0.61	215.6	1986-09-10 11:10:00	241
4 h	59.0	38.9	0.66	247.4	1986-09-10 11:35:00	199
6 h	65.9	47.0	0.71	304.1	1986-09-10 13:20:00	178
8 h	69.0	50.0	0.72	332.3	1986-09-10 15:20:00	190
12 h	72.4	50.6	0.70	334.6	1986-09-10 18:00:00	202
24 h	80.3	50.5	0.63	336.3	1986-09-11 01:15:00	183

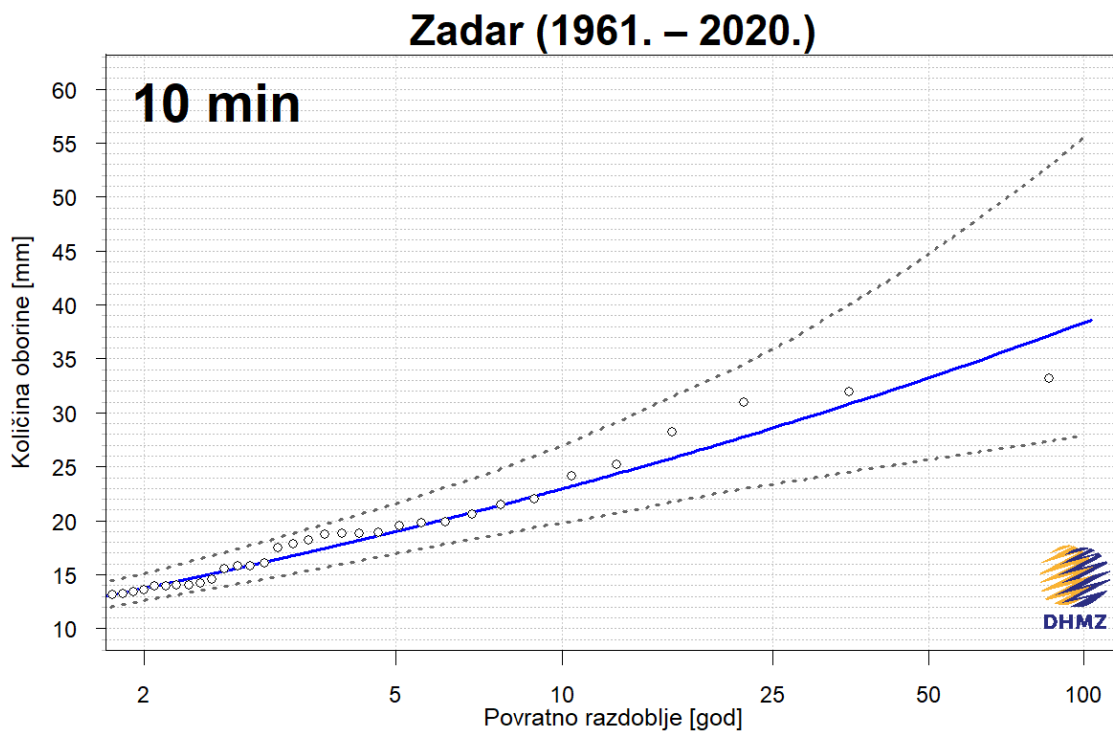
**Tablica 2.**

Procjene maksimalnih godišnjih količina oborine RT [mm] za različita trajanja i odgovarajuće donje (IPd) i gornje granice (IPg) 95%-tnih intervala pouzdanosti za različita povratna razdoblja T (2, 5, 10, 25, 50 i 100 godina). **ZADAR**, razdoblje 1961. – 2020.

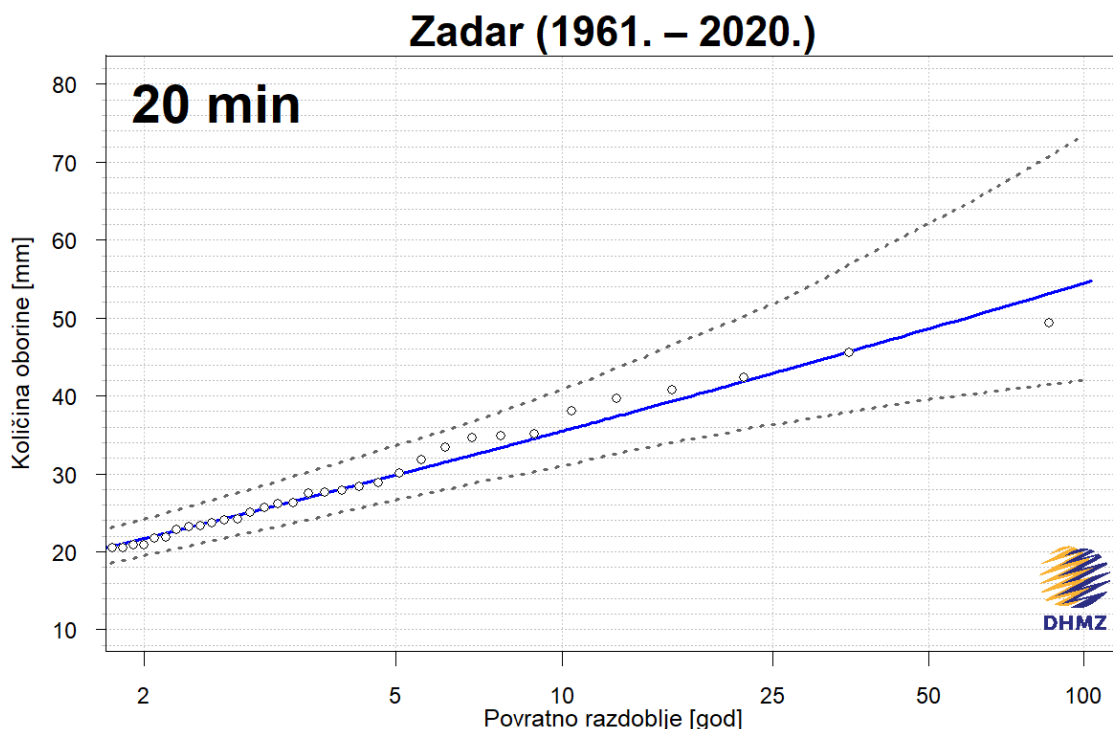
Trajanje	T2			T5			T10			T25			T50			T100		
	IPd	RT	IPg	IPd	RT	IPg	IPd	RT	IPg	IPd	RT	IPg	IPd	RT	IPg	IPd	RT	IPg
5 min	7.5	8.3	9.3	10.5	12.1	13.9	12.6	15.0	17.8	15.0	19.2	24.4	16.7	22.8	31.0	18.7	26.9	39.7
10 min	12.6	13.7	15.1	17.0	19.0	21.6	19.8	23.0	26.9	23.4	28.6	35.9	25.7	33.2	44.7	27.9	38.3	55.6
20 min	19.6	21.7	24.1	26.6	29.8	33.6	31.0	35.5	40.8	36.3	42.9	51.8	39.6	48.6	62.1	42.0	54.5	73.5
30 min	24.4	27.3	30.3	33.4	37.8	42.1	38.7	44.9	51.0	44.6	54.0	64.6	48.0	60.9	77.3	51.0	67.8	90.0
40 min	28.4	31.8	35.6	39.3	44.5	50.1	46.1	52.8	60.1	52.9	63.0	74.0	57.7	70.5	85.8	61.7	77.8	98.9
50 min	31.0	35.2	40.2	44.1	49.7	57.2	51.8	59.0	68.0	59.3	70.3	83.6	64.1	78.5	97.5	68.0	86.3	113.1
60 min	33.2	37.7	43.2	48.0	53.8	61.0	56.1	64.1	73.1	64.6	76.6	89.9	69.3	85.7	104.1	73.3	94.4	119.4
2 h	38.1	44.0	50.1	56.4	65.7	74.5	68.5	81.1	94.6	81.0	102.1	127.1	89.5	118.6	154.6	97.3	136.0	187.8
3 h	40.9	46.6	53.5	61.3	71.6	82.5	74.5	91.2	108.9	89.8	120.3	150.8	101.6	145.5	200.9	113.7	174.0	261.4
4 h	43.6	49.4	57.2	65.6	76.5	90.6	80.0	99.0	120.8	99.3	134.1	180.8	113.6	166.0	248.2	126.5	203.5	338.9
6 h	47.5	53.4	61.2	69.4	82.6	96.2	86.0	108.8	133.2	111.6	152.8	206.8	130.7	195.6	295.8	148.4	249.1	432.0
8 h	49.2	55.6	64.1	72.1	85.6	101.1	89.6	113.1	140.1	111.8	159.8	218.0	131.0	205.9	309.9	151.6	264.3	449.3
12 h	53.0	59.2	68.6	76.5	90.6	106.8	95.2	118.6	143.5	116.6	164.9	223.8	133.3	209.5	318.8	152.5	264.8	476.2
24 h	60.0	67.0	74.6	83.2	98.0	111.3	101.4	125.9	152.0	125.8	172.6	235.6	142.1	218.1	333.8	158.2	274.9	466.2



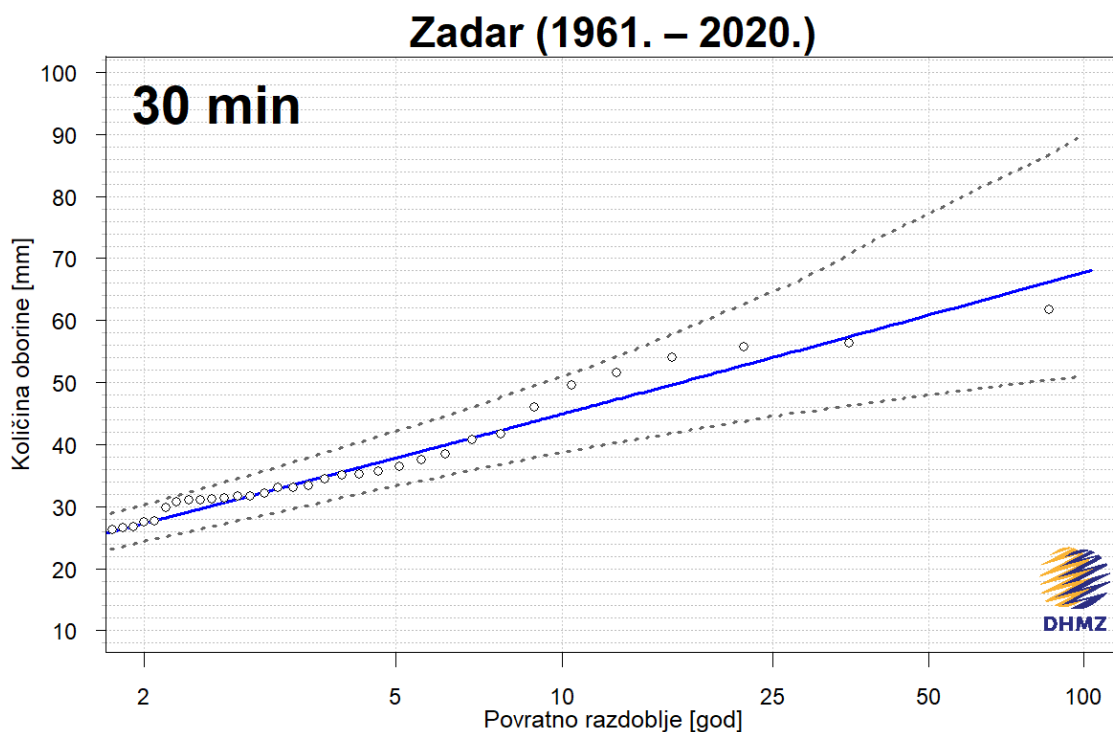
Slika 1. Procjene maksimalnih godišnjih količina oborine za različita povratna razdoblja (plava krivulja) i odgovarajući donji i gornji 95%-tni intervali pouzdanosti (crtkane krivulje) za trajanje **5 minuta**, izračunate pomoću razdiobe GEV



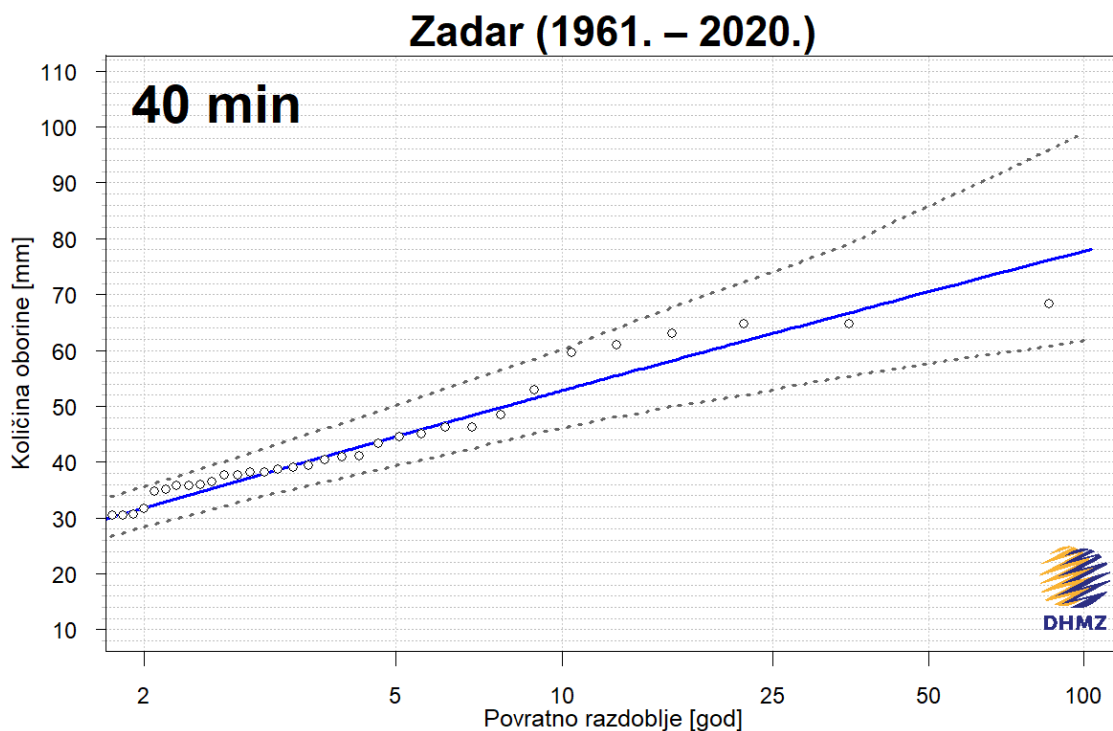
Slika 2. Procjene maksimalnih količina oborine za različita povratna razdoblja (plava krivulja) i odgovarajući donji i gornji 95%-tni intervali pouzdanosti (crtkane krivulje) za trajanje **10 minuta**, izračunate pomoću razdiobe GEV



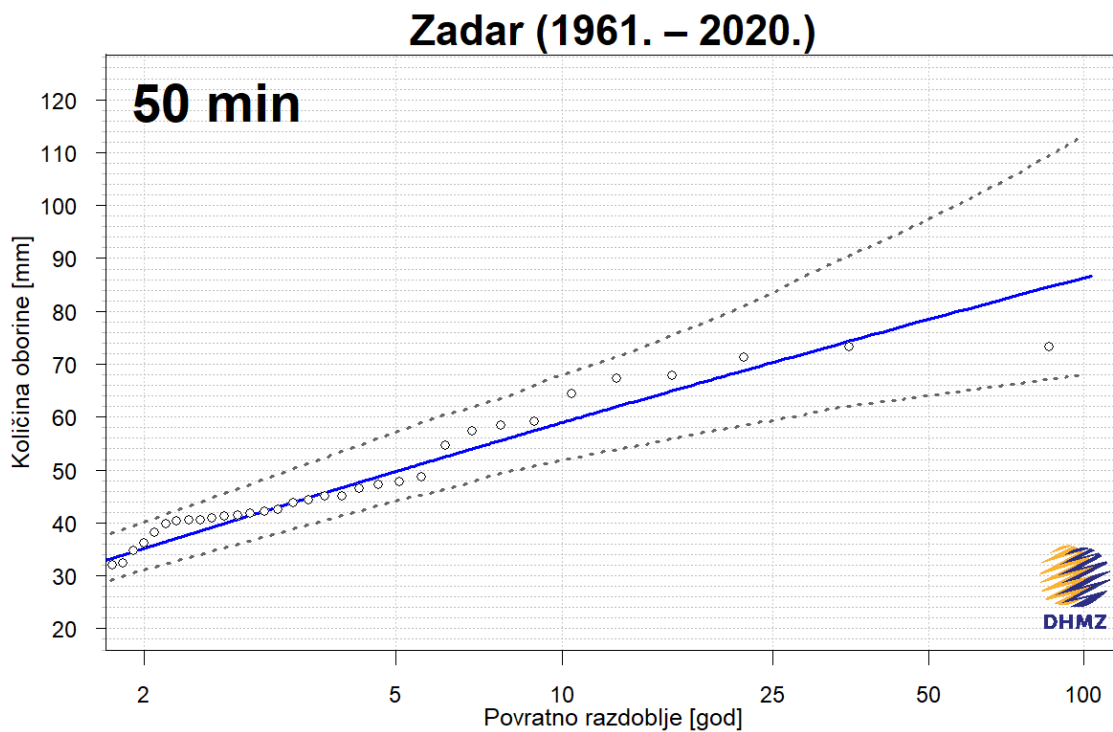
Slika 3. Procjene maksimalnih godišnjih količina oborine za različita povratna razdoblja (plava krivulja) i odgovarajući donji i gornji 95%-tni intervali pouzdanosti (crtkane krivulje) za trajanje **20 minuta**, izračunate pomoću razdiobe GEV



Slika 4. Procjene maksimalnih godišnjih količina oborine za različita povratna razdoblja (plava krivulja) i odgovarajući donji i gornji 95%-tni intervali pouzdanosti (crtkane krivulje) za trajanje **30 minuta**, izračunate pomoću razdiobe GEV

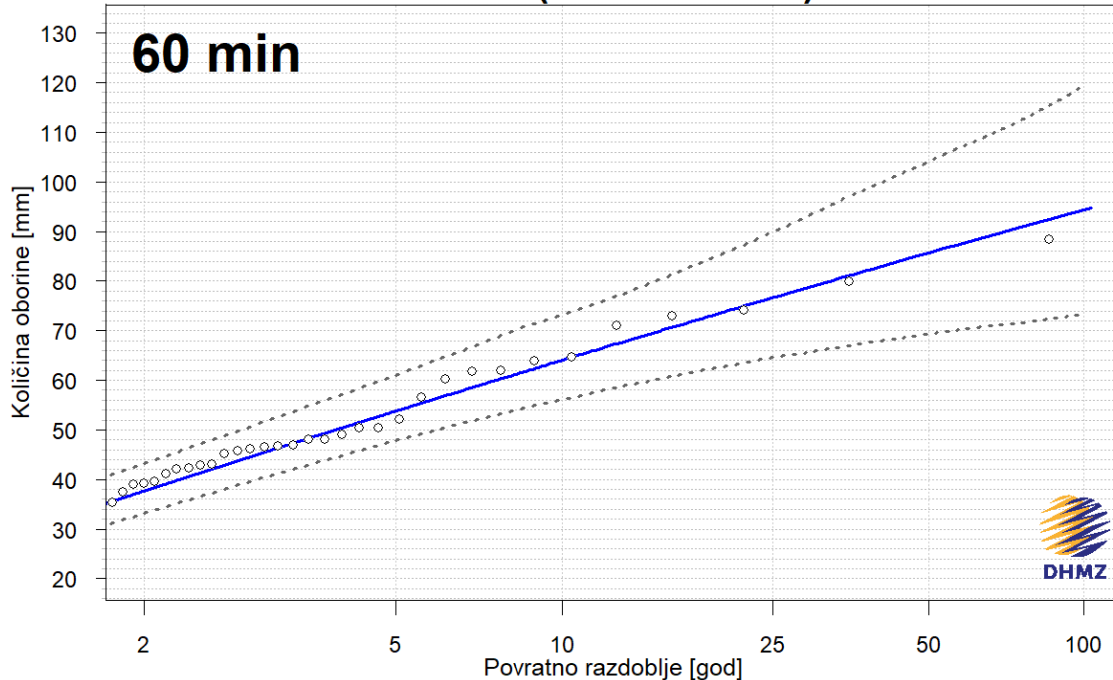


Slika 5. Procjene maksimalnih godišnjih količina oborine za različita povratna razdoblja (plava krivulja) i odgovarajući donji i gornji 95%-tni intervali pouzdanosti (crtkane krivulje) za trajanje **40 minuta**, izračunate pomoću razdiobe GEV



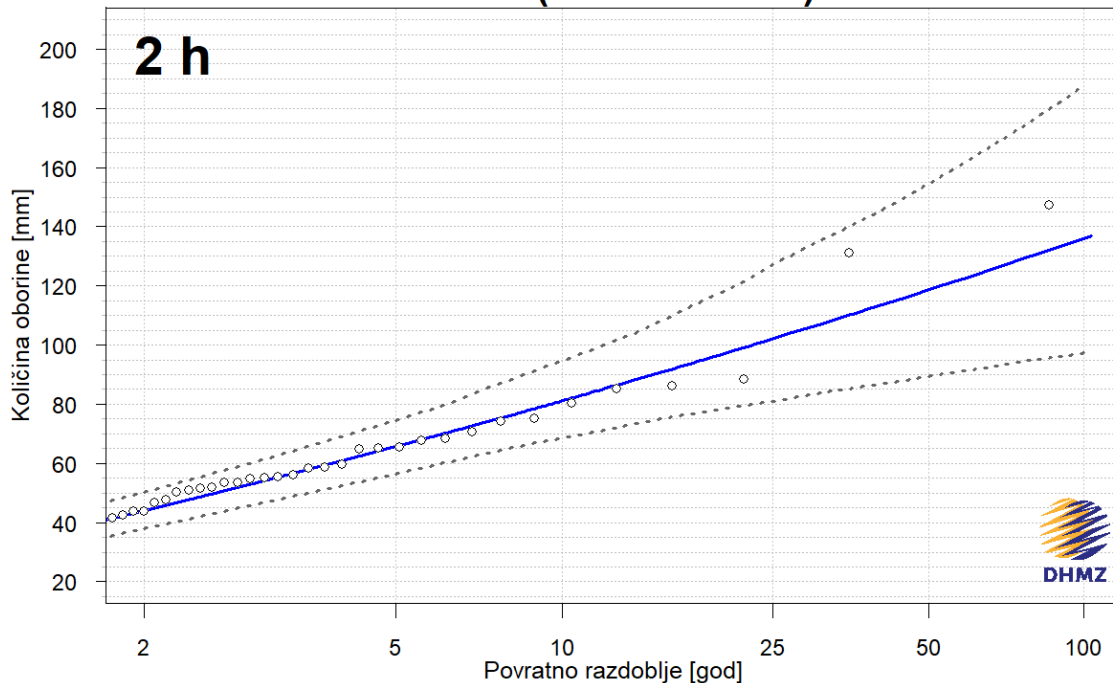
Slika 6. Procjene maksimalnih godišnjih količina oborine za različita povratna razdoblja (plava krivulja) i odgovarajući donji i gornji 95%-tni intervali pouzdanosti (crtkane krivulje) za trajanje **50 minuta**, izračunate pomoću razdiobe GEV

## Zadar (1961. – 2020.)



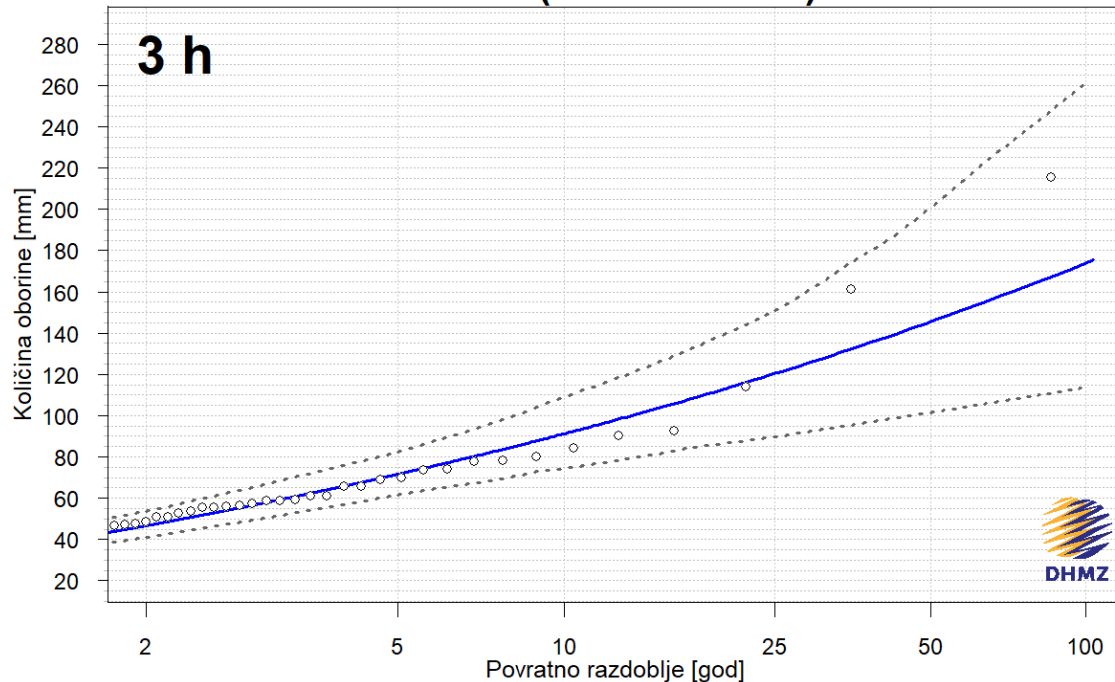
Slika 7. Procjene maksimalnih godišnjih količina oborine za različita povratna razdoblja (plava krivulja) i odgovarajući donji i gornji 95%-tni intervali pouzdanosti (crtkane krivulje) za trajanje **60 minuta**, izračunate pomoću razdiobe GEV

## Zadar (1961. – 2020.)



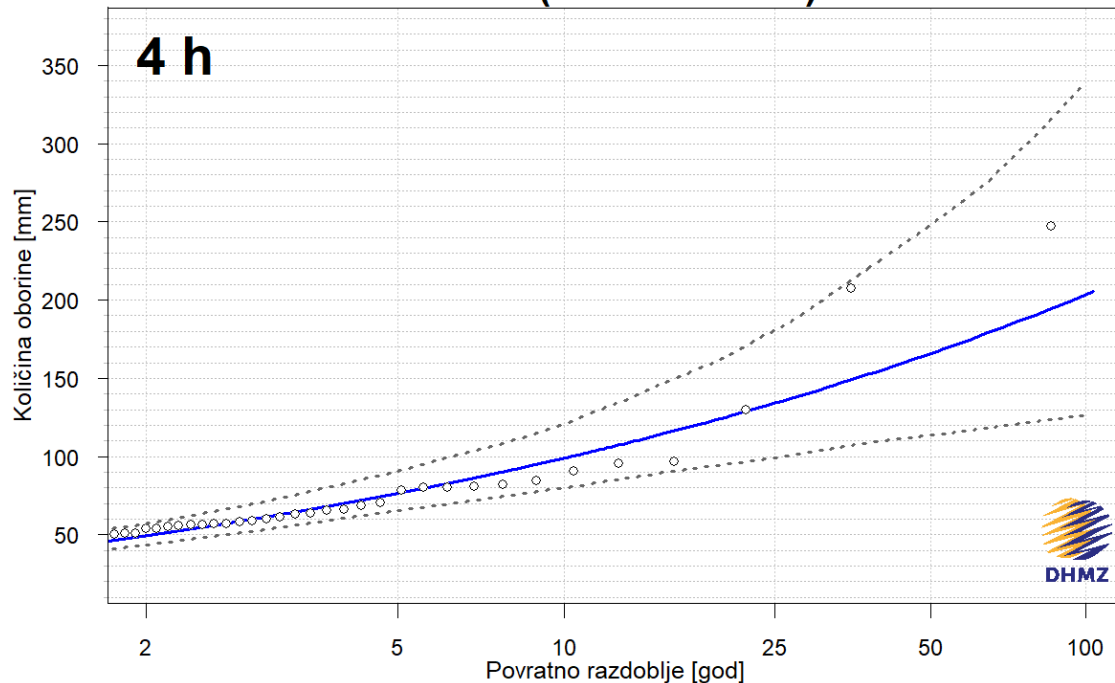
Slika 8. Procjene maksimalnih godišnjih količina oborine za različita povratna razdoblja (plava krivulja) i odgovarajući donji i gornji 95%-tni intervali pouzdanosti (crtkane krivulje) za trajanje **2 h**, izračunate pomoću razdiobe GEV

## Zadar (1961. – 2020.)



Slika 9. Procjene maksimalnih godišnjih količina oborine za različita povratna razdoblja (plava krivulja) i odgovarajući donji i gornji 95%-tni intervali pouzdanosti (crtkane krivulje) za trajanje **3 h**, izračunate pomoću razdiobe GEV

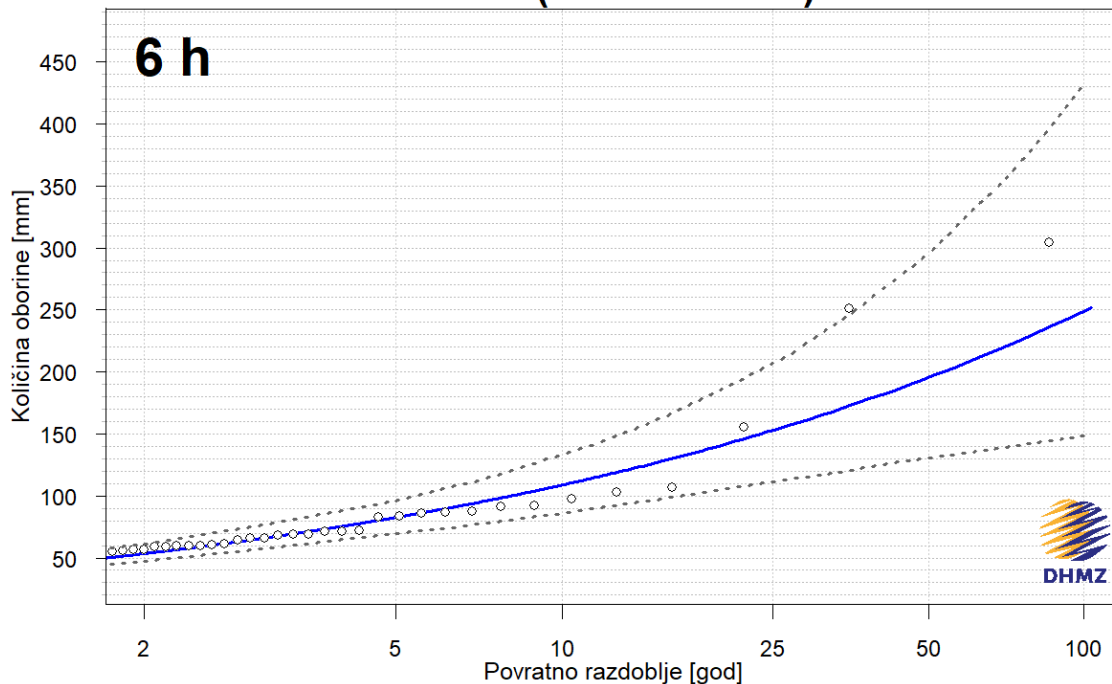
## Zadar (1961. – 2020.)



Slika 10. Procjene maksimalnih godišnjih količina oborine za različita povratna razdoblja (plava krivulja) i odgovarajući donji i gornji 95%-tni intervali pouzdanosti (crtkane krivulje) za trajanje **4 h**, izračunate pomoću razdiobe GEV

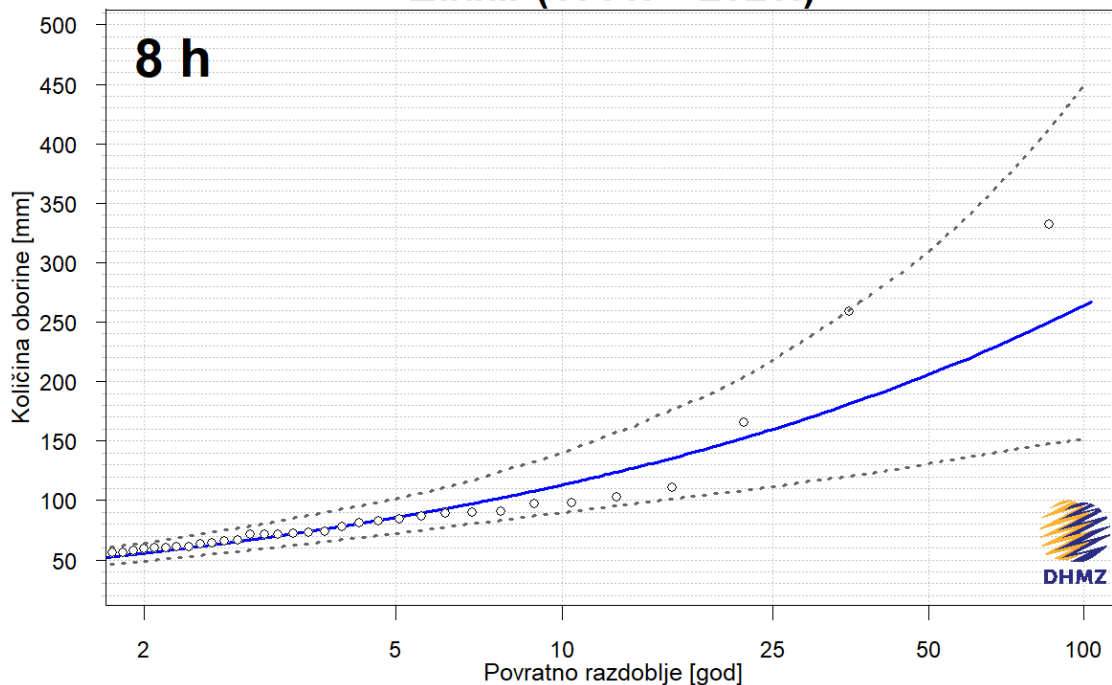


## Zadar (1961. – 2020.)



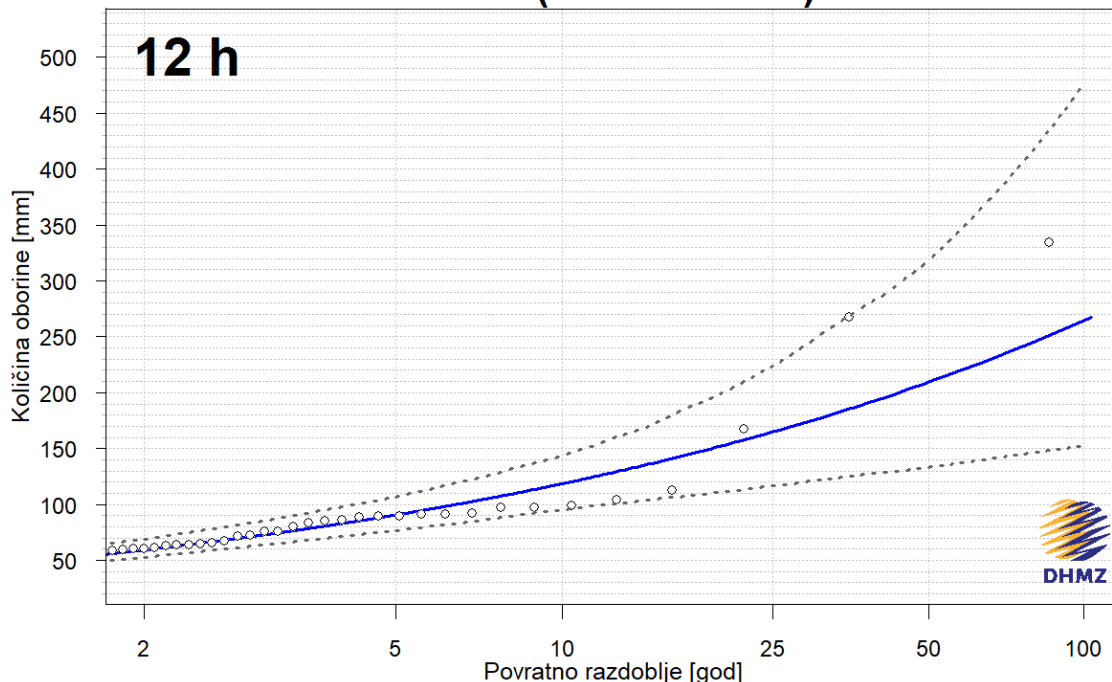
Slika 11. Procjene maksimalnih godišnjih količina oborine za različita povratna razdoblja (plava krivulja) i odgovarajući donji i gornji 95%-tni intervali pouzdanosti (crtkane krivulje) za trajanje **6 h**, izračunate pomoću razdiobe GEV

## Zadar (1961. – 2020.)



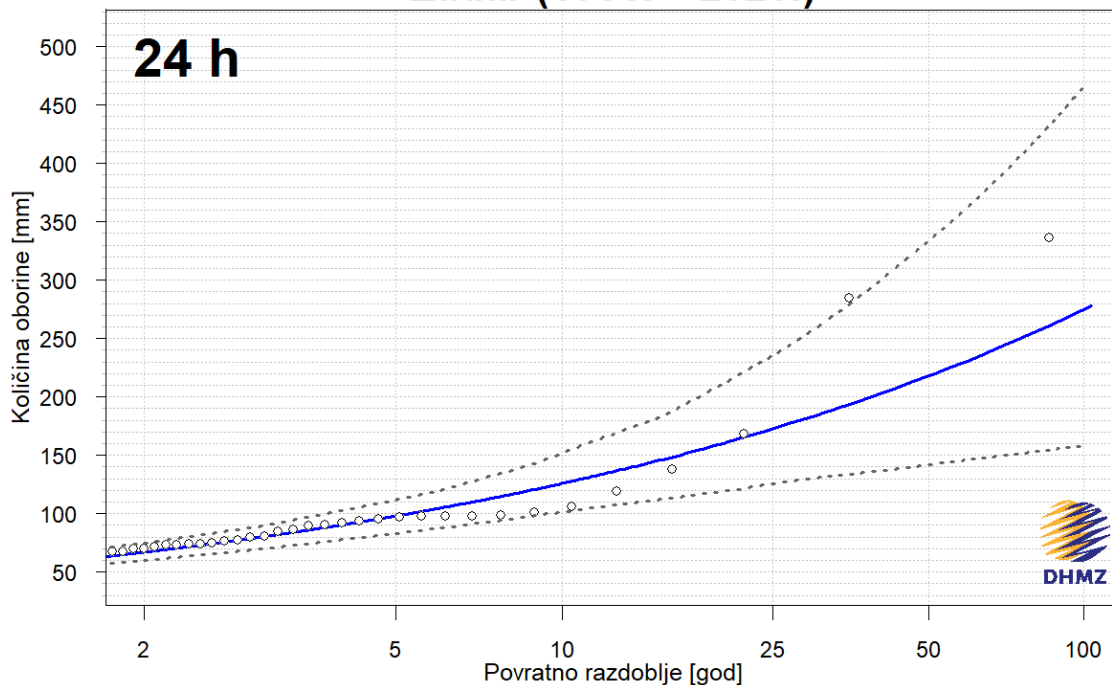
Slika 12. Procjene maksimalnih godišnjih količina oborine za različita povratna razdoblja (plava krivulja) i odgovarajući donji i gornji 95%-tni intervali pouzdanosti (crtkane krivulje) za trajanje **8 h**, izračunate pomoću razdiobe GEV

### Zadar (1961. – 2020.)



Slika 13. Procjene maksimalnih godišnjih količina oborine za različita povratna razdoblja (plava krivulja) i odgovarajući donji i gornji 95%-tni intervali pouzdanosti (crtkane krivulje) za trajanje **12 h**, izračunate pomoću razdiobe GEV

### Zadar (1961. – 2020.)



Slika 14. Procjene maksimalnih godišnjih količina oborine za različita povratna razdoblja (plava krivulja) i odgovarajući donji i gornji 95%-tni intervali pouzdanosti (crtkane krivulje) za trajanje **24 h**, izračunate pomoću razdiobe GEV